



تصویربرداری فراطیفی و ملاحظات «آفا» در برابر تهدیدات آن

صفا خزائی^۱، سعید همایونی^۲ و عبدالرضا صفری^۳

۱- دانشجوی دکتری، ۲ و ۳- استادیار، دانشگاه تهران، پردیس فنی، گروه مهندسی نقشه برداری و ژئوماتیک

E-mail: Khazai@ut.ac.ir

(دریافت: ۱۳۸۹/۰۶/۰۱ ، پذیرش: ۱۳۸۸/۰۸/۰۱)

چکیده

امروزه پیشرفت‌های نوین در فن آوری سنجش از دور فراطیفی، منبع اطلاعات بسیار مناسبی را برای مقاصد شناسایی فراهم نموده است. این ویژگی به دلیل توان تفکیک مکانی و طیفی بالای سنجنده‌های تصویربرداری فراطیفی هوایی و استفاده از امضا طیفی پدیده‌ها و عوارض در شناسایی اهداف نظامی است. در این مقاله توانایی تصویربرداری فراطیفی در شناسایی اهداف با ارایه دو کاربرد مهم پردازش و تجزیه تحلیل شامل تشخیص اهداف و آشکارسازی ناهنجاری‌ها مورد بررسی و در یک مطالعه موردنی بر روی تصویر فراطیفی HyMap این توانمندی در عمل با پیاده‌سازی الگوریتم‌ها مورد ارزیابی قرار گرفته است. در ادامه، دو معیار برای ارزیابی و واپیش (کنترل) روش‌های استثار و فریب فراطیفی ارایه شده، سپس با فرض در نظر گرفتن اقدامات غیر مستقیم پدافند غیر عامل، ملاحظات و اقدامات پیشگیرانه اساسی در خصوص اقدامات آفا (استثار، فریب و اختفا)، در مقابله با تهدیدات مربوط به تصویربرداری فراطیفی ارایه می‌شود.

کلیدواژه‌ها: تصویربرداری فراطیفی؛ امضاء طیفی؛ تشخیص هدف؛ آشکارسازی ناهنجاری؛ استثار؛ اختفا؛ فریب

Hyperspectral Imagery and CC&D Considerations Against its Threats

S. Khazaei*, S. Homayooni, A. R. Safari

Dept. of Surveying and Geomatics, Faculty of Engineering, University of Tehran

E-mail: Khazai@ut.ac.ir

Abstract

The recent advances in hyperspectral remote sensing technology have provided a very good source of information for reconnaissance purposes. This is because of high spatial and spectral resolutions of airborne hyperspectral imaging sensors, and also the use of spectral signature of phenomena and objects for identification of military targets. In this paper, the ability of hyperspectral imagery for detection of targets is investigated by providing two important analyses including anomaly detection and target recognition. Besides, in a case study, this ability is evaluated practically by performing the algorithms on a real hyperspectral image from the HyMap sensor. Afterwards, two criteria are presented for evaluation and control of hyperspectral camouflage and deception techniques. Finally, assuming consideration of the indirect measures of passive defence, the essential considerations of CC&D (Camouflage, Concealment, and Deception) measures are presented against the threats of hyperspectral imagery.

Keywords: Anomaly Detection; Camouflage; Concealment; Deception; Hyperspectral Imagery; Spectral Signature; Target Recognition

ج) پوشش ابر. فن آوری های تصویربرداری فراتریفی و راداری به ویژه SAR^۳، توانایی بالای در غلبه بر این محدودیت ها دارند. سنجنده های فراتریفی که از نظر توان تفکیک طیفی، توانمندترین نوع سنجنده های تصویربرداری محسوب می شوند، قادر به خنثی سازی بسیاری از اقدامات آفا هستند. تصاویر راداری نیز به علت استفاده از امواج ریز موج (میکروویو) الکترومغناطیسی، تحت تأثیر شرایط جوی و زمانی نیستند و عملکرد بهتری دارند. به این دلایل، ارتش آمریکا سرمایه گذاری فراوانی بر استفاده جدگانه یا ترکیبی از این دو سیستم تصویربرداری کرده است.^[۳] به عنوان نمونه، سیستم FOPEN SAR^۴ یک پروژه تحقیقاتی جهت آشکارسازی اهداف نظامی مستقر در زیر پوشش درختان جنگل است که از طریق تصویربرداری ترکیبی فراتریفی و SAR صورت می گیرد.^[۴]

این مقاله با فرض در نظر گرفتن اقدامات غیر مستقیم پدافند غیر عامل (رعایت اصول حفاظت اطلاعات، پراکندگی، مکان یابی، تحرک و جابجایی، ...) سعی بر ارایه ملاحظات اساسی در خصوص شیوه های مستقیم اقدامات استئار، اختفا و فریب در مقابله با تهدیدات شناسایی تصویربرداری فراتریفی دارد. ساختار مقاله بدین صورت است که در بخش ۲، به معرفی تصویربرداری فراتریفی و توانمندی های آن در شناسایی اهداف پرداخته می شود. در بخش ۳ پردازش های اصلی در آشکارسازی و تشخیص اهداف ارایه شده و در بخش ۴ نیز در قالب یک مطالعه موردی بر روی تصویر فراتریفی HyMap^۵، توانایی تصویربرداری فراتریفی در آشکارسازی اهداف مورد بررسی قرار می گیرد. بخش ۵ به ارایه ملاحظات اساسی آفا در مقابله با تهدید تصویربرداری فراتریفی و در خاتمه، بخش ۶ به جمع بندی می پردازد.

۲. تصویربرداری فراتریفی

تصویربرداری فراتریفی یا طیف نگاری تصویری^۶ از جمله فن آوری های پیشرفته ای سنجش از دور محسوب می شود که هدف آن تشخیص و شناسایی مواد، اهداف و پدیده ها بر اساس خصوصیات بازتاب طیفی آنها در محدوده گسترده تری از طیف الکترومغناطیسی است. سنجنده های فراتریفی معمولاً شبیه به سنجنده های چند طیفی و از نوع جاروبگرهای خطی

3. Synthetic Aperture RADAR

4. Foliage Penetration Synthetic Aperture RADAR

5. Imaging Spectrometry

۱. مقدمه

شناسایی، مأموریتی برای کسب اطلاعات در مورد فعالیت ها، منابع، توانمندی ها و موقعیت دشمن است. از جمله انواع مهم منابع اطلاعاتی که در مأموریت های شناسایی مورد استفاده قرار می گیرند، اطلاعات تصویری (IMINT)^۷ هستند که از طریق تفسیر و تجزیه تحلیل تصاویر سنجنده های تصویربردار به دست می آیند و توانایی فرمانده را در درک سریع و کامل فضای فیزیکی و جغرافیایی جنگ افزایش می دهند. اطلاعات تصویری حاصل از تصاویر هوایی و ماهواره ای، منبع اطلاعاتی بسیار مهمی برای کاربردهای نظامی و دفاعی هستند. برخی از این کاربردها عبارتند از: هدف گیری تسلیحات هدایت شونده (بم ها و موشک ها)، تحلیل محیطی و موقعیتی صحنه جنگ، ارزیابی خسارات جنگی و ... [۱]. سنجنده های تصویربرداری شامل دو نوع سیستم فعل و غیرفعال هستند؛ سنجنده های الکتروپاتنیکی مشتمل بر سنجنده های پنکروماتیک، چندطیفی و فراتریفی به همراه سنجنده های حرارتی و دید در شب از انواع اصلی سنجنده های غیرفعال محسوب می شوند که از منبع انرژی طبیعی، یعنی خورشید، استفاده می کنند. سنجنده های راداری و لیدار^۸ نیز از انواع اصلی سنجنده های تصویربرداری فعال با منبع انرژی مصنوعی هستند. تصاویر سنجش از دور حاصل از هر کدام از این سنجنده ها دارای ویژگی های منحصر به فرد و توانمندی های ویژه ای است که کاربرد آنها را برای امور دفاعی ضروری می سازد.

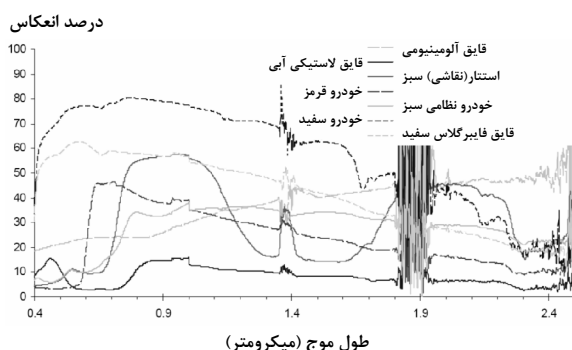
هدف اصلی اقدامات آفا، جلوگیری از آشکارسازی و قابلیت مشاهده تجهیزات، ادوات و فعالیت های مورد نظر است. در استئار، هدف، یافتن روش هایی عمومی برای کاهش علائم و نشانه های اهداف است. اختفاء مخفی نمودن نفرات، تجهیزات و تأسیسات از دید سنجنده های شناسایی دشمن است. فریب یا طعمه گذاری نیز قراردادن اهداف نادرست یا شبیه سازی شده در محلی است که معمولاً محل اهداف واقعی است و می تواند توجه دشمن را از هدف حقیقی دور کند و احتمال سالم ماندن تجهیزات و نیروی انسانی را افزایش دهد^[۲]، اما این اقدامات غالباً تنها در محدوده طیف مسئی کارآمد هستند. سه عاملی که تصویربرداری مرئی (اپتیکی) را در شناسایی اهداف ناتوان می سازد عبارتند از: (الف) اقدامات آفا، (ب) تاریکی شب و

1. Imagery Intelligence

2. LIDAR

گوناگون در محدوده مشخصی از طول موج ترسیم شود، منحنی به دست می‌آید که «امضای طیفی» آن ماده نامیده می‌شود. بدلیل اینکه امضا طیفی برای هر ماده منحصر به‌فرد است، می‌توان مواد را بر اساس اختلاف آنها در امضاها طیفی از هم تفکیک نمود^[۷]. عموماً از طریق تصویربرداری فراتیفی در سکوهای زمینی یا آزمایشگاهی، امضا طیفی مواد و اهداف، ثبت و در کتابخانه‌های طیفی ذخیره می‌شود تا با برآورده میزان همسانی یا شایسته بازتاب طیفی اشیاء مختلف در تصاویر فراتیفی هوایی با امضاها موجود در کتابخانه‌ی طیفی، امکان شناسایی اهداف بر روی آن تصاویر میسر گردد^[۱].

شكل (۲) امضاها طیفی تعدادی هدف که توسط طیفسنج میدانی^۷ ASD با بیش از ۷۰۰ باند طیفی به دست آمده است را نشان می‌دهد.



شکل ۲. امضاها طیفی تعدادی هدف توسط طیفسنج میدانی ASD [۷]

علاوه بر تعداد یا پهنای باند طیفی سنجنده‌های تصویربرداری که اصطلاحاً توان تفکیک طیفی آنها را تعیین می‌کند، اندازه پیکسل زمینی نیز به عنوان شاخص اصلی توان تفکیک مکانی، از جمله مشخصه‌های مهم سنجنده‌های تصویربرداری است. اندازه پیکسل زمینی سنجنده‌های اپتیکی (G) در امتداد نادیر، برابر حاصل ضرب زاویه میدان دید لحظه‌ای سنجنده^۸ ($IFOV$)، بر حسب رادیان و ارتفاع سکوی حامل سنجنده از سطح زمین^۹ (H) است (رابطه (۱)):

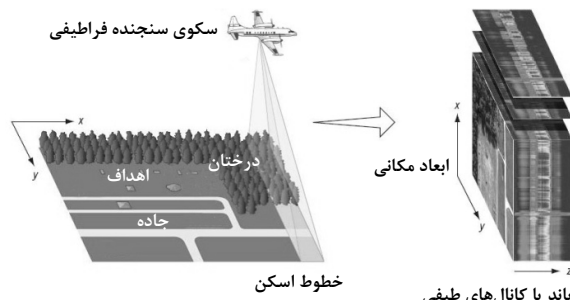
$$G = IFOV \times H = \frac{d}{f} \times H \quad (1)$$

6. Spectral Library

7. Field Spectrometer

8. Instantaneous Field Of View

(پوش بروم^۱) هستند که منطقه تحت تصویربرداری را در جهت عرض مسیر حرکت سکو و سنجنده جاروب می‌کنند (شکل (۱)). ویژگی این سنجنده‌ها توانایی سیستم نوری آنها در تفکیک پرتوهای بازتابیده یا گسیل یافته از عوارض سطح زمین به محدوده‌های پیوسته بسیار جزئی، عموماً بین ۱۰۰ تا ۳۰۰ باند طیفی و پهنای باندی بین ۱۰ تا ۲۰ نانومتر و ثبت آنها توسط سلول‌های حسگر (CCD)^۲ است. داده حاصل، تصویر فراتیفی است که به «مکعب داده» معروف است. محدوده‌ی فعالیت طیفی اکثر این سنجنده‌ها، عمدتاً بین ۴/۰ تا ۲/۵ میکرومتر است که شامل گسترده‌ی طیف بازتابی امواج الکترومغناطیس در برگیرنده‌ی نواحی مرئی، مادون قرمز نزدیک^۳ و مادون قرمز موج کوتاه^۴ می‌شود^[۱]. البته برخی سنجنده‌های فراتیفی نیز که در مراحل تحقیق و توسعه، بیشتر در کاربردهای زمین‌شناسی هستند، تمام یا بخشی از محدوده طیفی مادون قرمز حرارتی^۵ را نیز پوشش می‌دهند. از جمله این سنجنده‌ها می‌توان به سنجنده‌ی SEBASS اشاره نمود که در محدوده ۷/۵ تا ۱۳/۶ میکرومتر دارای ۱۲۸ باند طیفی است^[۵].



شکل ۱. تصویربرداری فراتیفی و ساختار مکعب داده (تصویر فراتیفی)^[۵]

ایده پایه و اساسی در تصویربرداری فراتیفی، جمع‌آوری اطلاعات امضا طیفی است. به بیان ساده، همه مواد و اجسام زمینی، پرتوهای الکترومغناطیس تابیده شده به آنها را بر اساس ساختار فیزیکی و ترکیبات شیمیایی و طول موج تابشی، بازتاب، منتقل، جذب و یا گسیل می‌کنند. لذا چنانچه در صد انعکاس یا گسیل انرژی توسط هر ماده بر حسب طول موج‌های

1. Push Broom

2. Charged Couple Device

3. Near Infrared (NIR): 0.7-1.1 μm

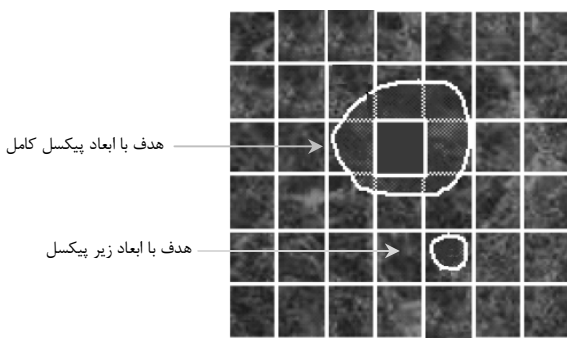
4. Short-Wave Infrared (SWIR): 1.1-3 μm

5. Thermal Infrared (TIR): 3-15 μm

می تواند بین $۰/۵$ تا ۴ متر باشد. از آنجا که ابعاد اکثر تجهیزات و تسلیحات نظامی در حدود این اندازه ها است، تصویربرداری فراطیفی هوابرد می تواند ابزار مناسی جهت شناسایی مواضع و تجهیزات دشمن و تهدیدی جدی برای شناسایی امکانات و اهداف خودی محسوب گردد.

از توانمندی های تصویربرداری فراطیفی نسبت به چندطیفی، قابلیت آشکارسازی اهدافی با ابعاد کوچکتر از یک پیکسل زمینی و یا به عبارتی اهداف زیر پیکسلی^۳ است (شکل (۴)). از نظر تئوری، امکان آشکارسازی اهدافی که ابعاد آنها حتی حدود یک چهارم ($۰/۲۵$) ابعاد پیکسل زمینی است نیز ممکن خواهد بود [۱۰]. با این وجود، محدودیت های اصلی تصویربرداری فرآیندی شامل نیاز به شرایط روشنایی مناسب خورشید (به علت طبیعت غیرفعال بودن آن)، تأثیرات پراکنش اتمسفری شدید امواج الکترومغناطیسی و تأثیرپذیری شدید از شرایط محیطی است [۱۱].

از کاربردهای مهم غیرنظمی فن آوری سنجش از دور فراطیفی می توان به پایش محیطی مانند آشکارسازی آلودگی های آب، هوا و خاک [۱۰]. شناسایی آفات در کشاورزی و جنگل داری [۱۲]، آشکارسازی گازها و مواد شیمیایی [۱۳]، شناسایی آسیب دیدگان در عملیات های امداد و نجات مربوط به بلایی طبیعی [۱۲] و... و کاربردهای نظامی می توان به تشخیص بین اهداف واقعی و طعمه های فریب [۱۴]، خنثی نمودن اقدامات استقرار [۱۵] مانند تفکیک بین پوشش های گیاهی زنده و مرده، آشکارسازی تسلیحات کشتار جمعی [۱۶]، آشکارسازی میدانی مین و مهمات های عمل نکرده [۱۵]، تحلیل و آشکارسازی دود تأسیسات نظامی، و جنگ بیولوژیکی مانند شناسایی عوامل عصبی [۱۶] اشاره کرد.



شکل ۴. اهداف در ابعاد پیکسل کامل و زیر پیکسل

در رابطه بالا، f فاصله کانونی و d اندازه CCD های سنجنده تصویربرداری است (نسبت d/f IFOV را تعیین می کند).

سنجنده های فراطیفی با وجود داشتن بالاترین سطح توان تفکیک طیفی در بین سنجنده های الکتروپتیکی، دارای توان تفکیک مکانی نسبتاً پایینی هستند. به طوری که اندازه پیکسل زمینی سنجنده های فضارد غالباً به دلیل محدودیت در ساخت CCD های با ابعاد خیلی کوچک و نیز بالا بودن ارتفاع پرواز، بالاتر از ۳۰ متر است؛ لذا جهت مأموریت های شناسایی، گزینه مناسبی نیستند. لازم به ذکر است از سال ۲۰۰۱ که پرتاب ماهواره OrbView-4 با سنجنده فراطیفی Warfighter-1 با ۲۰۰ باند طیفی و اندازه پیکسل زمینی ۸ متر با شکست مواجه شد، تا به امروز تلاش قابل ملاحظه ای در خصوص استفاده از سکوهای ماهواره ای با اندازه پیکسل زمینی کمتر از ۳۰ متر برای سنجنده های فراطیفی دیده نشده است [۱]. اما سنجنده های هوایی در مأموریت های شناسایی (غالباً در پرنده های بدون سرنشین UAV) از قبیل Predator (شکل (۳)) و Hawk Global نسبت می شوند) به دلیل عدم خطرات جانی، سقف پرواز بالا (تا ۲۰ کیلومتر) و قابلیت بالا جهت پایش تقریباً آنی و طولانی مدت، دارای کارایی بالایی هستند [۸].

جدول (۱) لیست سنجنده های فراطیفی هوایی های مأموریتی را به همراه مشخصات آنها ارایه می کند. این سنجنده ها به طور متوسط دارای IFOV حداقل حدود نیم میلی رادیان هستند، لذا با توجه به محدودیت ارتفاع پرواز UAV ها، توان تفکیک مکانی خوبی برای مأموریت های شناسایی دارند. ارتفاع پرواز UAV های آمریکا که به عنوان توانمندترین نوع شناخته می شوند معمولاً بین ۱ تا ۸ کیلومتر متغیر است [۸]. بنابراین با توجه به معادله (۱) اندازه پیکسل زمینی تصاویر فراطیفی این سنجنده ها



شکل ۳. پرنده بدون سرنشین Predator آمریکا

یک پژوهه در حال توسعه ارتش آمریکا برای فراهم‌سازی قابلیت شناسایی اهداف استشار و اختفا شده ماكتهای فریب و اهداف خیلی مشکل از طریق استفاده از سنجندهای فراتریفی است[۱۷]. همچنین به عنوان تحقیقات موردنی می‌توان به آزمون‌های شناسایی یک سری خودرو نظامی استشار شده با تور استشار، در محیط چمن‌زار، در یک تصویر فراتریفی HYDICE با اندازه پیکسل زمینی ۱/۵ متر، معروف به تصویر Forest Radiance Image-I.

۳. پردازش‌های شناسایی در تصویربرداری فراتریفی

در کاربردهای تصاویر فراتریفی برای مقاصد شناسایی به طور کلی دو پردازش تشخیص اهداف و آشکارسازی ناهنجاری‌ها مورد استفاده قرار می‌گیرند[۶].

۱. تشخیص هدف^۳

اصطلاح هدف می‌تواند در مورد اشیاء بسیار متنوع ساخت بشر از قبیل جاده‌ها، ساختمان‌ها و از این نوع به کار رود، اما به لحاظ تاریخی در زمینه کاربردهای نظامی برای تشخیص تانک‌ها، هوپیماها، کشتی‌ها، سایت‌های رادار و غیره به کار رفته است. در کاربرد تشخیص هدف، سعی بر این است که مشخص شود آیا یک پیکسل، حاوی هدف موردنظر هست یا نه؟ این پردازش با محاسبه میزان شباهت یا همسانی طیفی پیکسل موردنظر با امضاء طیفی هدف، انجام می‌گیرد[۶]. به طور کلی، مشکل اصلی تشخیص هدف در تصاویر فراتریفی مربوط به تهیه یا ایجاد کتابخانه طیفی اهداف است، زیرا تنها با داشتن امضای طیفی اهداف می‌توان آنها را شناسایی نمود. برخی آزمایشگاه‌های طیفسنجی ^{JPL}^۴ ناسا و آزمایشگاه طیفسنجی نیروی هوایی آمریکا، کتابخانه‌های طیفی نسبتاً کاملی برای پذیده‌ها و مواد گوناگون ایجاد کرده‌اند.

از پیش‌پردازش‌های اصلی تشخیص هدف، تصحیح‌های رادیومتری و اتمسفری و نیز انتخاب باندهای یا ویژگی‌های طیفی بهینه است. با انجام تصحیح‌های رادیومتری و اتمسفری، داده‌های تصویری تابشی به بازتابی تبدیل می‌شوند و با انتخاب باندهای بهینه، باندهای نامناسب کنار گذاشته می‌شوند. این

جدول ۱. مشخصات سنجندهای فراتریفی هوابردی عملیاتی

[۱۰، ۸، ۶]

نام سنجنده	کشور	تعداد باند طیفی	محدوده طیفی (میکرومتر)	(میلی رادیان) IFOV
1,2AIS	آمریکا	۱۲۸	۰/۹ - ۲/۴	۲
AISA	فلاند	۲۸۶	۰/۴۵ - ۰/۹	۱
ARES	آمریکا	۷۵	۲-۶/۳	۱/۲
APEX	اتحادیه اروپا	۳۰۰	۰/۴ - ۲/۵	۰/۵
AVIRIS	آمریکا	۲۲۴	۰/۴ - ۲/۴۵	۱
CAMODIS	چین	۸۸	۰/۴ - ۲/۴۸	۱/۲
CASI	کانادا	۲۸۸	۰/۴۳ - ۰/۸۷	۱/۲
COMPASS	آمریکا	۲۵۶	۰/۴ - ۲/۵	۲/۵
DAIS 21115	آلمان	۲۱۱	۰/۴ - ۱۲	۰/۵
DAIS 7915	آلمان	۷۹	۰/۴ - ۱۲	۱/۱
FLI/PMI	کانادا	۲۸۸	۰/۴۳ - ۰/۸	۰/۶۶
FTVFHSI	آلمان	۲۵۶	۰/۴۴ - ۱/۱۵	۱
HIRIS	آمریکا	۱۹۲	۰/۴ - ۲/۵	۱
HYDICE	آمریکا	۲۱۰	۰/۴ - ۲/۵	۰/۵
HyMap	استرالیا	۱۲۶	۰/۴ - ۲/۵	۲/۵
IRIS	آمریکا	۲۵۶	۲ - ۱۵	۱
ISM	فرانسه	۱۲۸	۰/۸ - ۲/۲	۱/۲
MEIS	کانادا	۲۰۰	۰/۳۵ - ۰/۹	۰/۲۵
MIDIS	آمریکا	۲۵۶	۰/۴ - ۳۰	۱
MISI	آمریکا	۷۰	۰/۴ - ۱	۱
MIVIS	ایتالیا	۱۰۲	۰/۴۳ - ۱۲/۷	۲
MUSIC	آمریکا	۱۸۰	۲/۵ - ۱۴/۵	۰/۵
RODIS	آلمان	۱۲۸	۰/۴۵ - ۰/۸۵	۰/۵۶
SEBASS	آمریکا	۱۲۸	۷/۵-۱۲/۶	۱/۱
SFSI	کانادا	۱۲۲	۱/۲ - ۲/۴	۰/۳۳
TRWIS III	آمریکا	۳۸۴	۰/۳ - ۲/۵	۱
VIMS-V	آمریکا	۳۵۲	۰/۳ - ۱/۰۵	۱
WIS	آمریکا	۱۷۰	۰/۴ - ۲/۵	۰/۶۶

در خصوص اهمیت فن‌آوری تصویربرداری فراتریفی در حیطه شناسایی اهداف می‌توان به پژوههای مختلف سازمان پژوههای تحقیقات پیشرفته دفاعی آمریکا (DARPA)^۱ و نیز نیروی هوایی آمریکا اشاره کرد. به عنوان نمونه ASRP^۲

3. Target Recognition

4. Jet Propulsion Laboratory

1. Defense Advanced Research Projects Agency

2. Adaptive Spectral Reconnaissance Program

۲-۳. آشکارسازی ناهنجاری^۵

آشکارسازی ناهنجاری یکی از مسائل اساسی در زمینه شناسایی و پایش اهداف است که از خصوصیات بارز آن می‌توان به عدم نیاز به امضای طیفی مواد اهداف و نیز عدم نیاز به اعمال تصحیحات رادیومتریک و اتمسفری اشاره کرد[۱۴]. هدف این پردازش، تعیین محل اشیاء غیرعادی بر روی تصویر، بدون داشتن هیچ‌گونه اطلاعات از پیش معلوم است. به دلیل توان تفکیک طیفی بالا در تصویربرداری فراتیفی نسبت به سایر سیستم‌های سنجش از دور، آشکارسازی ناهنجاری در این‌گونه سیستم‌ها موفق‌تر است. از جمله کاربردها در حوزه شناسایی، می‌توان به آشکارسازی مین‌های زمینی (سطوح) یا پنهان شده، اهداف نظامی استثار شده و ماكتهای فربود اشاره نمود[۱۱]. از نظر دیگر، آشکارسازی ناهنجاری می‌تواند به عنوان مرحله اول تشخیص اتوماتیک هدف در نظر گرفته شود که این کار با مشخص نمودن مناطقی که ممکن است شامل اهداف بالقوه باشند صورت می‌گیرد[۲۴ و ۲۳]. در این خصوص می‌توان به کاربرد الگوریتم آشکارساز ناهنجاری ORASIS^۶ در برنامه شناسایی اهداف ASRP ارتش آمریکا اشاره نمود[۲۵]. الگوریتم‌های مختلفی برای پردازش آشکارسازی ناهنجاری ارایه شده‌اند که یکی از آن‌ها روش RX است و روشی شناخته شده و کارآمد در آشکارسازی ناهنجاری است[۲۶].

• الگوریتم RX

پایه و اساس این الگوریتم که یک روش آماری جهت آشکارسازی ناهنجاری محسوب می‌گردد، یک آزمون فرضیه دودویی است. در فرضیه اول که پیکسل را هدف در نظر نمی‌گیرد، فرض بر این است در یک همسایگی مشخص (زمینه اطراف پیکسل مورد نظر)، داده‌ها دارای توزیع نرمال با میانگین صفر هستند، اما در فرضیه دوم که پیکسل را هدف در نظر می‌گیرد، فرض این است که توزیع نرمال داده‌ها دارای میانگین صفر نیست. رابطه کلی این الگوریتم آشکارساز ناهنجاری که به طور گسترده در کاربردهای تصویربرداری فراتیفی مورد استفاده قرار می‌گیرد، به صورت زیر است[۲۷]:

$$Z_{RX}(x) = (x - \mu)^T \Gamma^{-1} (x - \mu) \quad (3)$$

5. Anomaly Detection
6. Optical Real-time Adaptive Spectral Identification System

باندهایی با مقدار نویز زیاد یا باندهایی با همبستگی بالا باشند. اما از پس پردازش‌های بسیار مهم تشخیص هدف می‌توان به ردیابی^۱ اهداف نظامی اشاره نمود. بدین‌صورت که پس از تشخیص یک هدف در یک تصویر فراتیفی، آن هدف در تصاویر فراتیفی‌ای که در زمان و مکانی دیگر تهیه می‌شود، مجددًا شناسایی شود. از جمله تحقیقاتی که در این خصوص انجام شده می‌توان به تحقیقات نیروی هوایی آمریکا در خصوص ردیابی خودروهای متحرک اشاره نمود[۲۰ و ۲۱].

الگوریتم‌های تشخیص هدف در دو سطح پیکسل کامل و زیرپیکسل ارایه شده‌اند. از جمله الگوریتم‌های تشخیص زیرپیکسلی می‌توان به ACE^۲ (ارزیاب وابستگی تطبیقی) اشاره نمود.

• الگوریتم ACE

این الگوریتم که از یک توزیع آماری (توزیع نرمال چند متغیری)^۳ برای نمونه کردن زمینه اطراف پیکسل مورد نظر استفاده می‌کند، اخیراً در تشخیص اهداف پیکسلی و زیرپیکسلی در تصاویر فراتیفی به طور وسیع مورد استفاده قرار گرفته است. معادله اساسی این الگوریتم به صورت زیر است[۲۲]:

$$Z_{ACE}(x, S) = \begin{cases} \frac{x^T \Gamma^{-1} S (S^T \Gamma^{-1} S)^{-1} S^T \Gamma^{-1} x}{x^T \Gamma^{-1} x} & (1-2) \\ \frac{(S^T \Gamma^{-1} x)^2}{(S^T \Gamma^{-1} S)(x^T \Gamma^{-1} x)} & (2-2) \end{cases}$$

در روابط بالا، x بردار طیفی پیکسل مورد نظر، S ماتریس حاوی بردارهای امضای طیفی مواد اصلی تشکیل‌دهنده هدف مورد نظر^۴ و Γ ماتریس کواریانس پیکسل‌های زمینه است. رابطه (۱-۲) برای تشخیص اهداف زیرپیکسلی و رابطه (۲-۲) برای تشخیص اهداف در ابعاد پیکسل کامل ارایه شده است. به طور کلی، چنانچه Z_{ACE} از یک مقدار حد آستانه مشخص بزرگ‌تر باشد، نشان‌دهنده وجود هدف در پیکسل مورد نظر خواهد بود.

1. Tracking
2. Tracking
3. Multivariate
4. Endmember



تصویر پنکروماتیک ماهواره Quickbird از شهر Cooke



موقعیت اهداف در باند ۱۰ تصویر فراطیفی HyMap

شکل ۵

۲-۲. تشخیص اهداف

به عنوان پیش‌پردازش ابتدا تصحیح اتمسفری بر روی تصویر فراطیفی انجام گرفت. بدین منظور از برنامه‌ی تصحیح اتمسفری QUAC در نرم‌افزار ENVI استفاده گردید. سپس با استفاده از الگوریتم ACE و انتخاب یک حد آستانه تطبیقی، همه اهداف بر روی تصویر مشخص شدند. شکل (۶) پردازش تشخیص هدف F₁ را بر روی بخشی از منطقه علفزار واقع در تصویر فراطیفی Map HyMap نشان می‌دهد.

۲-۳. آشکارسازی ناهنجاری‌ها

با استفاده از الگوریتم RX پیاده‌سازی شده، همه‌ی اهداف به جز Hدف F4b به صورت مناسبی آشکار می‌شوند. دشوار بودن آشکارسازی F4b به علت ابعاد کوچک هدف (یک سوم ابعاد پیکسل زمینی تصویر) و پیچیدگی زمینه محلی آن است. گرچه نرخ هشدارهای اشتباہ بالا است (حدود ۵ درصد)، اما به عنوان مرحله پیش‌پردازش، آشکارسازی ناهنجاری جهت تشخیص اهداف مناسب است. زیرا زمان جستجوی هدف در مرحله تشخیص هدف به شدت کاهش می‌دهد.

در رابطه بالا، μ بردار میانگین طیفی پیکسل‌های زمینه است. چنانچه Z_{RX} از یک حد آستانه مشخص بزرگ‌تر باشد، نشان‌دهنده آنست که پیکسل مورد نظر یک ناهنجاری است.

۴. مطالعه موردی

هدف اصلی در این مطالعه موردی، نشان دادن توانایی قابلیت تشخیص اهداف و آشکارسازی ناهنجاری در تصاویر فراطیفی است.

۴-۱. داده‌ها

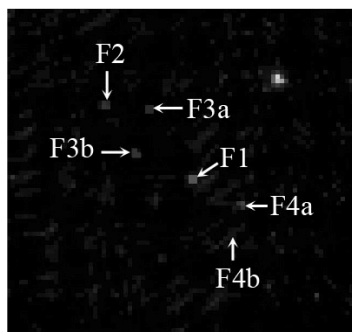
داده‌های مورد استفاده در این مطالعه موردی شامل یک تصویر فراطیفی و تعدادی هدف مشخص شده بر روی آن است که در ادامه تشریح می‌شوند.

- تصویر فراطیفی مربوط به سنجنده‌ی هوابرد HyMap (با باند طیفی) است که از ارتفاع حدود ۱۲۰۰ متری و با اندازه پیکسل زمینی ۳ متر در تابستان ۲۰۰۶ از شهر Cooke آمریکا گرفته شده است (شکل (۵)). تهیه این تصویر بنا به درخواست متخصصین سنجش از دور دانشگاه RIT جهت تحلیل و بررسی تشخیص اهداف در تصاویر فراطیفی صورت گرفته است.

- اهداف شامل شش نوع پارچه یا نایلون رنگی در ابعاد پیکسل کامل و زیر پیکسلی (کمتر از ۳ متر) است که در یک منطقه علفزار در قسمت شرقی شهر قرار داده شده‌اند (جدول (۲)). موقعیت این اهداف بر روی تصویر HyMap شکل (۵) مشخص بوده و امضاهای طیفی آنها نیز معلوم است.

جدول ۲. مشخصات اهداف در تصویر فراطیفی HyMap

هدف	نوع	اندازه (متر)
F1	پارچه‌ی قرمز	۳×۳
F2	نایلون زرد	۳×۳
F3a	پارچه‌ی آبی	۲×۲
F3b	پارچه‌ی آبی	۱×۱
F4a	نایلون قرمز	۲×۲
F4b	نایلون قرمز	۱×۱



شکل ۷. نتیجه پردازش تشخیص هدف ۱ بر روی بخشی از منطقه علفزار واقع در تصویر فراتلیفی HyMap

ملاحظات اساسی پدافند غیرعامل در خصوص هر یک از مولفه‌های اصلی آفا به تفصیل بیان می‌شود.

۵-۱. استtar فراتلیفی

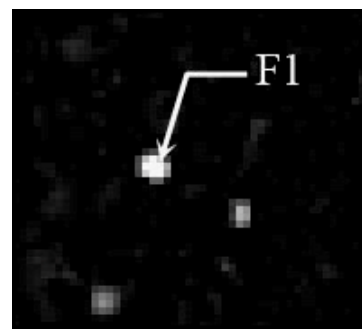
شیوه‌های اصلی استtar به ترتیب اولویت، شامل آمیختگی اهداف با محیط اطراف، پنهانسازی اهداف با استفاده از نقاشی‌ها و تورهای استtar و فریب به کمک تغییر علائم طیفی اهداف است^[۳]. نیروهای نظامی از تورهای استtar متداول، شرایط زمین و نیز شاخ و برگ درختان برای استtar خود و تجهیزات بهره می‌گیرند. از آنجا که این روش‌ها علائم دیداری عمدتی ندارند، جهت آشکارسازی آن‌ها در تصویربرداری‌های پنکرمه‌ماتیک و چندطیفی، به‌توان تفکیک مکانی بالای نیاز، می‌باشد که با وجود آن نیز معمولاً احتمال آشکارسازی اهداف، کم و نرخ هشدارهای اشتباه، بالا است. اما در تصویربرداری فراتلیفی، اختلافات طیفی اهداف و زمینه اطراف می‌تواند به سرعت موجب آشکارسازی اهداف گردد.

در ادامه، یک نمونه ریاضی برای واپاپش(کنترل) و ارزیابی شیوه‌های استtar فراتلیفی ارایه می‌شود.

فرض نمایید که یک هدف با امضای طیفی x در یک زمینه محلی همگن (نظیر چمنزار، زمین بایر...) با امضای طیفی متوسط b ، قرار دارد. با توجه به رابطه^(۴) و نظر به این‌که ماتریس کواریانس زمینه به دلیل همگنی می‌تواند یکه فرض شود، میزان ناهنجاری این هدف نسبت به زمینه اش برابر است با:

$$Z_{RX}(x) = (x - b)^T (x - b) \quad (4)$$

بدیهی است هر چه b و x به یکدیگر نزدیک باشند، میزان



شکل ۶. نتیجه پردازش تشخیص هدف ۱ بر روی بخشی از منطقه علفزار واقع در تصویر فراتلیفی HyMap

شکل (۷) نتیجه پردازش آشکارسازی ناهنجاری‌ها را بر روی منطقه علفزار واقع در تصویر فراتلیفی HyMap نشان می‌دهد. همانطور که در این شکل دیده می‌شود، هدف F4b در مقایسه با سایر اهداف از میزان ناهنجاری کمتری برخوردار است.

۵. ملاحظات آفا در برابر تهدیدات تصویربرداری فراتلیفی

همان‌طور که در مطالعه موردی نشان داده شد، تصویربرداری فراتلیفی توانایی بسیار بالایی در آشکارسازی و تشخیص اهداف و ناهنجاری‌ها در ابعاد زیر پیکسلی دارد. به‌طوری که به کمک کتابخانه طیفی، اهداف زیر پیکسلی در ابعاد یک سوم اندازه پیکسل زمینی قابل تشخیص بوده و بدون داشتن کتابخانه طیفی، اهداف زیر پیکسلی در ابعاد حدود نصف اندازه پیکسل زمینی تصویربرداری قابل آشکارسازی هستند. از آنجا که اندازه پیکسل زمینی یک متر در تصویربرداری هوایرد با ارتفاع پرواز حدود ۲ کیلومتر، با توجه به حداقل زاویه میدان دید لحظه‌ای برابر با $0^{\circ}/5^{\circ}$ میلی رادیان در خصوص UAV‌های آمریکا

جدول (۱) و رابطه (۱)، به طور یقین قابل دسترسی است، لذا اهداف نظامی با حداقل اندازه نیم متر در معرض تهدید جدی شناسایی هستند. از آنجایی که تقریباً تمامی اهداف نظامی اعم از تجهیزات و تسلیحات مهم در اندازه‌های بزرگ‌تر از یک متر هستند، لذا می‌توان گفت تقریباً تمامی اهداف نظامی در معرض تهدید شناسایی فراتلیفی واقع هستند. از این‌رو مقابله با این تهدید، شناسایی مستلزم در نظر گرفتن یک سری ملاحظات اساسی آفا می‌باشد. توضیح این‌که بسیاری از روش‌های ابداع شده برای مقابله با تصویربرداری مرئی، در برابر تصویربرداری فراتلیفی، حفاظت محدودی را امکان‌پذیر می‌سازند. در ادامه،

- قادر به آشکارسازی اهداف بالقوه خواهد بود.
- تورهای فعلی استtar فراتیفی برای اهداف نسبتاً کوچک کاملاً مناسب هستند، اما قادر به استtar اهداف بزرگ بویژه سازه‌های حیاتی، حساس و مهم از قبیل پالایشگاه‌ها، تصفیه خانه‌ها، سیستم‌های انتقال نیرو و از این نوع نیستند. در این حالت، لازم است زیرسیستم‌های حیاتی این سازه‌ها که امکان اختفای آن‌ها میسر نیست، استtar فراتیفی شوند.
 - از آنجاییکه رنگ‌ها و تورهای استtar فراتیفی می‌باید در طیف‌های مرئی، مادون قرمز نزدیک و مادون قرمز موج کوتاه کاملاً با زمینه اطراف مطابقت داشته باشند^[۳]، لذا لازم است که آن‌ها برای محیط‌های مختلف (جنگلی، بیابانی، ساحلی و...) به طور خاص طراحی و ساخته شوند.
 - علاوه بر شیوه‌های استtar، انتخاب موقعیت و انبساط استtar نیز می‌باید به طور دقیق رعایت گردد. انتخاب موقعیت شامل انتخاب یک زمینه مناسب است، به طوری که اجزاء هدف را در خود محو نمایند. یک ملاحظه مهم دیگر نیز، اجتناب از مجاورت با عوارض مهم زمینی است. زیرا آنها خود موجبات جلب توجه را فراهم می‌سازند. انبساط استtar نیز تأکید بر اجتناب از فعالیت‌ها و علائمی دارد که موجب آشکار شدن اهداف می‌شوند. این علائم می‌توانند خاک‌های اضافی، ردپاها و یا رد چرخ‌های وسایل نقلیه موتوری باشند^[۲].

۲-۵. اختفاء فراتیفی

به کارگیری این مؤلفه، مستلزم درک صحیح از عملکرد سنجنده‌های فراتیفی و شرایط عدم عملکرد مناسب آن‌ها است. از این رو از دیدگاه تئوری و تجربی ملاحظات اساسی در خصوص اختفاء فراتیفی عبارتند از:

- با تصویربرداری فراتیفی امکان شناسایی اهداف در داخل محیط‌هایی از قبیل ساختمان‌ها و ساختارهای زیر زمینی، وجود ندارد. زیرا در تصویربرداری‌های الکترواپتیکی، اهدافی که دیدن آن‌ها از نزدیک امکان پذیر نیست، شناسایی آن‌ها نیز به طور مستقیم بسیار دشوار است. بنابراین استفاده از فضاهای داخلی مطمئن نظیر ساختمان‌ها و زیرزمین، گزینه بسیار مناسبی جهت اختفاء تسليحات، تجهیزات و سایر ادوات خواهد بود.

به مقدار صفر نزدیک تر و در نتیجه، میزان ناهنجاری کمتر خواهد شد. حالتی را در نظر بگیرید که هدف مورد نظر با استفاده از مواد طبیعی یا مصنوعی استtar شده باشد. از آنجا که با در نظر گرفتن فرضیه معروف اختلاط خطی طیفی^۱ مواد در پیکسل‌های تصاویر فراتیفی می‌توان امضا طیفی x را با یک ترکیب خطی از ماده استtarی در رابطه^(۴) جایگزین نمود^[۲۶]، لذا رابطه نهایی می‌تواند به صورت ذیل ارایه شود:

$$Z_{RX}(x) = (f.c + (1-f).x - b)^T (f.c + (1-f).x - b) \quad (5)$$

در رابطه بالا، c بردار طیفی ماده استtarی و f عددی است بین صفر و یک که معرف میزان سهم سطحی ماده استtarی از کل سطح هدف است و می‌تواند از رابطه ذیل برآورد شود:

$$f = \frac{A_c}{A_t} \quad (6)$$

در رابطه بالا، A_c مقدار سطح پوششی هدف از ماده استtarی و A_t میزان سطح کل هدف مورد نظر است. از آنجایی که f حاصل یک نسبت است، لذا چنانچه استtar به طور تقریباً یکنواخت بر روی هدف صورت گرفته باشد، به صورت تقریبی می‌توان در یک سطح کوچک و مشخصی از هدف آن را برآورد نمود. با توجه به مطالب ارایه شده، یک اقدام بنیادی در خصوص استtar فراتیفی، تهییه کتابخانه طیفی است. در کتابخانه طیفی لازم است امضاهای طیفی اهداف و نیز محیط‌های طبیعی مختلف (که امکان حضور اهداف در آنها وجود دارد) ثبت شود تا بررسی و واپیش (کنترل) میزان آشکارسازی اهداف و روش‌های مختلف استtar فراتیفی به کمک روابط^(۸) و^(۹) میسر گردد.

در ادامه از دیدگاه تئوری و تجربی به ارایه ملاحظات اساسی استtar فراتیفی پرداخته می‌شود:

- آمیختگی طبیعی کامل هدف با استفاده از مواد طبیعی (مانند پوشش گیاهی زنده در جنگل‌ها) می‌تواند به عنوان مؤثرترین گزینه جهت استtar در نظر گرفته شود. در این ملاحظه، توجه به این نکته که آمیختگی الزاماً با زمینه محلی باید صورت گیرد، بسیار حائز اهمیت است، زیرا در غیر این صورت پردازش‌های آشکارسازی ناهنجاری به آسانی

مشابه استتار فراتیفی، یک اقدام اساسی در خصوص فریب فراتیفی، تهیه کتابخانه طیفی اهداف است. بنابراین باید با استفاده از طیفستچه‌های دقیق، امضاهای طیفی اهداف را تهیه نمود تا در طراحی و ساخت طعمه‌های فریب مورد استفاده واقع شوند. به بیانی دیگر از این طریق می‌توان میزان تطبیق طیفی طعمه‌ها و اهداف واقعی را مورد ارزیابی و واپایش (کنترل) قرار داد.

۶. جمع‌بندی

سنجدنده‌های فراتیفی دارای بالاترین سطح توان تفکیک طیفی در بین سنجدنده‌های تصویربرداری هستند. اما تنها سنجدنده‌های هوایبرد که غالباً بر روی UAVها نصب می‌گردند، به دلیل بالا بودن هر دو ویژگی توان تفکیک مکانی و طیفی، جهت مأموریت‌های شناسایی گزینه مناسبی محسوب می‌شوند. کلید اصلی شناسایی اهداف در تصویربرداری فراتیفی، در نظر گرفتن امضای طیفی اهداف است. با این قابلیت حتی امکان آشکارسازی اهداف زیرپیکسلی نیز ممکن خواهد بود. لذا این فن آوری، توانمندی بالایی در شناسایی اهداف و اقدامات آفات دارد و تهدیدی جدی در این خصوص محسوب می‌گردد.

در خصوص اقدامات آفات در برابر تهدیدات شناسایی تصویربرداری فراتیفی، ۵ ملاحظه اساسی لازم است: (۱) ایجاد کتابخانه طیفی از اهداف، مواد و محیط‌های مختلف از ضروریات اساسی دفاعی در استتار و فریب فراتیفی است. (۲) در ساخت و به کارگیری مواد استتار فراتیفی مانند رنگ‌ها و تورها و نیز طعمه‌های فریب، نمونه‌های ریاضی ارایه شده در این تحقیق راهکاری عملی برای واپایش (کنترل) و ارزیابی است. (۳) آمیختگی طبیعی مناسب با استفاده از مواد طبیعی، مؤثرترین گزینه جهت استتار فراتیفی است. (۴) استفاده از فضاهای داخلی مطمئن نظیر ساختمان‌ها و زیرزمین بهترین گزینه جهت اختفاء است. (۵) در شب و شرایط جوی نامساعد، الزامی بر به کارگیری شیوه‌ها و روش‌های استتار و فریب فراتیفی نیست.

همچنین از آنجایی که سنجدنده‌های تصویربرداری فراتیفی بسیار گران قیمت هستند و تهیه آن‌ها نیز به لحاظ تحریم، محدودیت‌های زیادی به همراه دارد، بنابراین شبیه‌سازی تصویربرداری فراتیفی می‌تواند یکی از مناسب‌ترین گزینه‌ها برای تحلیل آشکارسازی و تشخیص اهداف و اقدامات آفات باشد.

- از آنجا که سنجدنده‌های فراتیفی به دلیل ماهیت غیرفعال بودن یا نیاز مبرم آن‌ها به استفاده از نور خورشید قادر نیستند در موقع روشنایی نامناسب (زمان شب و در نواحی سایه‌ای) تصویری مناسب برداشت نمایند [۱]، لذا استفاده از زمان‌های تاریک، بدون در نظر گرفتن تهدید تصویربرداری راداری گزینه مناسبی برای نقل و انتقال تجهیزات و فعالیت‌های خاص است.

- از آنجایی که در تصویربرداری فراتیفی تأثیرات اتمسفری بسیار شدید است [۱]، در شرایط نامساعد جوی از قبیل مه، گرد و غبار، بارندگی و نیز شرایط مصنوعی چون دودزایی، کارایی تصویربرداری فراتیفی به شدت کاهش می‌یابد. البته دودزایی گزینه کاملاً مناسبی در خصوص اختفاء فراتیفی محسوب نمی‌گردد، زیرا پوشش دود نمی‌تواند همه اجزاء اهداف را مخفی نماید.

۳-۵. فریب فراتیفی

کلید مقاعده نمودن دشمن بر این‌که اهداف واقعی را با تصویربرداری فراتیفی پیدا نموده است، واقعی به نظر رساندن طعمه است. طعمه‌های فریب، بدل‌های اهداف واقعی هستند که می‌باید علائم اهداف واقعی را داشته باشند [۳]. از آنجا که تصویربرداری فراتیفی قادر به شناسایی طعمه‌های بادی، چوبی و اشیاء فلزی هستند، لذا امضای طیفی طعمه باید به امضای طیفی هدف واقعی خیلی نزدیک باشد. بنابراین راهکار مناسب جهت ساخت طعمه‌های فریب استفاده از مواد اصلی و طبیعی اهداف است.

حال یک نمونه ریاضی کاربردی برای واپایش (کنترل) و ارزیابی شیوه‌های فریب فراتیفی پیشنهاد می‌شود. فرض نمائید یک طعمه با امضای طیفی Γ جهت فریب هدف با امضای طیفی x مورد استفاده قرار گرفته باشد. در این صورت با توجه به رابطه (۲-۲) خواهیم داشت:

$$Z_{ACE}(x, s) = \frac{(s^T x)^2}{(s^T s)(x^T x)} \quad (7)$$

که Γ به دلیل در نظر گرفتن یک امضای طیفی برابر با ماتریس یکه در نظر گرفته شده است. بدیهی است هر چه s و x به یکدیگر نزدیک باشند، مقدار Z_{ACE} به عدد یک نزدیک‌تر خواهد بود و لذا امکان فریب بالاتر است.

- [12] Weng, Q. "Hyperspectral Remote Sensing Principles and Applications."; CRS press, Taylor & Francis Group, 2008.
- [13] Rogge, D.; Rivard, B.; Deyholos, M.; Levesque, J.; Faust, A. A. "Toxic Industrial Chemical Effects on Poplar, Canola, and Wheat Detectable over the 450 – 2500 Nm Spectral Range."; IGRASS, 2008.
- [14] Gat, N.; Barhen, J.; Gulati, S.; Steiner, T.D. "Hyperspectral Imaging for Target/Decoy Discrimination: Sensor and Algorithms."; Proc. Mtg. IRIS Specialty Group on Passive Sensors, IRIA Publication, 1994.
- [15] Ren, H.; Du, Q.; Wang, J.; Chang, C. I.; Jensen, J. O.; Jensen, J. L. "Automatic Target Recognition for Hyperspectral Imagery Using High-Order Statistics."; IEEE Transactions on Aerospace and Electronic Systems 2006, 42(4).
- [16] Kim, I.; Kim, M. S.; Chen, Y. R.; Kong, S. G. "Detection of Skin Tumors on Chicken Carcasses Using Hyperspectral Fluorescence Imaging."; Transactions of the ASAE 2004, 47(5), 1785–1792.
- [17] Tousley, B. "Adaptive Spectral Reconnaissance Adaptive Spectral Reconnaissance Program (ASRP)."; Defense Science & Technology Seminar Defense Science & Technology Seminar Emerging Hyperspectral Technologies - Emerging Hyperspectral Technologies-New Eyes for the Warfighter 2000.
- [18] Leachtenauer, J. C.; Malila, W.; Irvine, J.; Colburn, L.; Salvaggio, N. "General Image-Quality Equation."; Applied Optics 1997, 36(32).
- [19] Kerekes, J.; Muldowney, M.; Strackerjan, K.; Smith, L.; Leahy, B. "Vehicle Tracking With Multi-Temporal Hyperspectral Imagery."; Proc. of SPIE 2006, 6233, 62330C.
- [20] Soliman, N. A. "Hyperspectral-Augmented Target Tracking."; M. Sc Thesis, Air Force Institute of Technology, 2008.
- [21] Rotman, R. S. "Spatial and Temporal Point Tracking in Real Hyper Spectral Images."; Project Report, Ben-Gurion University of the Negev, 2006.
- [22] Manolakis, D. "Taxonomy of Detection Algorithms for Hyperspectral Imaging Applications."; Optical Engineering 2005, 44(6), 066403-1-11.
- [23] Choongyeun, C. "Anomaly Detection and Compensation for Hyperspectral Imagery."; Ph. D. Thesis, Massachusetts Institute of Technology, 2005.
- [24] Smetek, T. E. "Hyperspectral Imagery Target Detection Using Improved Anomaly Detection and Signature Matching Methods."; Ph. D. Thesis, Air Force Inst of Tech Wright-Patterson AFB OH School of Engineering and Management, 2007.

با این کار، می‌توان (الف) تصاویر فراطیفی با توان تفکیک مکانی و طیفی گوناگون را شبیه‌سازی نمود، (ب) اهداف مختلف را در تصاویر فراطیفی جای داد، (ج) تأثیرات پس زمینه‌های مختلف نظری مناطق علفزار، بیابانی و از این نوع را بر روی بازتابش طیفی اهداف اعمال و بررسی نمود، (د) تأثیر شرایط محیطی و جوی مختلف را روی امضای اهداف لحاظ نمود، (ه) الگوریتم‌های مختلف آشکارسازی ناهنجاری و تشخیص هدف را مورد آزمون قرار داده و احتمال شناسایی اهداف مورد نظر را برآورد نمود؛ و) ارزیابی‌های متعددی را با کمترین هزینه و زمان انجام داد.

۷. مراجع

- [۱] خزانی، صفا "مانی سنجش از دور با نگرشی بر شناسایی و مراقبت"، انتشارات دانشگاه امام حسین(ع)، ۱۳۸۸.
- [2] Headquarters Department of the Army; "Camouflage, Concealment, and Decoys."; Field Manual 1999, 20(3).
- [3] Bahal, A. S. "Satellite Reconnaissance, ISR and Counter-Measures."; AIR POWER Journal 2006, 3(2).
- [4] Hsu, S. M.; Burke, H. K. "Multisensor Fusion with Hyperspectral Imaging Data: Detection and Classification."; Lincoln Laboratory Journal 2003, 14(1).
- [5] Vaughan, R. G.; Calvin, W. M.; Taranik, J. V. "SEBASS Hyperspectral Thermal Infrared Data: Surface Emissivity Measurement and Mineral Mapping."; Remote Sensing of Environment 2003, 85(1).
- [6] Shaw, G. A.; Burke, H. K. "Spectral Imaging for Remote Sensing."; Lincoln Laboratory Journal 2003, 14, 3–28.
- [7] Vagni, F. "Survey of Hyperspectral and Multispectral Imaging Technologies."; RTO Technical Report, TR-SET-065-P3, 2007.
- [8] Wong, K. C. "Unmanned Aerial Vehicles (UAVs)."; Department of Aeronautical Engineering, university of Sydney, 2006.
- [9] Chang, C. I.; Ren, H.; Chang, C. C.; D'Amico, F; Jensen, J. O. "Estimation of Subpixel Target Size for Remotely Sensed Imagery."; IEEE Transactions on Geoscience and Remote Sensing 2004, 42(6).
- [10] Chang, C. I. "Hyperspectral Data Exploration, Theory and Applications."; A JOHN WILEY & SONS, INC. PUBLICATION, 2007.
- [11] Baquero, E. H. "Survey of Advanced Technologies in Imaging Science for Remote Sensing."; U.S. Air Force Academy , Rochester Institute of Technology, 1997.

- [25] Grossman, J. M.; Bowles, J.; Haas, D.; Antoniades, J. A.; Grunes, M. R.; Palmadesso, P.; Gillis, D.; Tsang, K. Y.; Baumback, M.; Daniel, M.; Fisher, J.; Triandaf, I. "Hyperspectral Analysis and Target Detection System for the Adaptive Spectral Reconnaissance Program (ASRP)."; SPIE, Algorithms for Multispectral and Hyperspectral Imagery IV, Orlando, FL, April 1998, 3372, 2-13, 13-14.
- [26] Chang, C. I. "Hyperspectral Imaging: Techniques for Spectral Detection and Classification."; Orlando, FL: Kluwer Academic, 2003.
- [27] Reed, I. S.; Yu, X. "Adaptive Multiple-Band CFAR Detection of an Optical Pattern with Unknown Spectral Distribution."; IEEE Transactions on Acoustics, Speech and Signal Processing 2005, 38(10), 1760-1770, 1